

УДК 539.23 : 548.25+621.372.0.29.63

© 1991

**СПИН-ВОЛНОВОЙ РЕЗОНАНС
В ИОННО-ИМПЛАНТИРОВАННЫХ
ФЕРРИТ-ГРАНАТОВЫХ СТРУКТУРАХ**

B. Н. Бержанский, B. E. Петров, B. L. Кокоз

Исследован спин-волновой резонанс в пленках феррита-граната иттрия, имплантированных ионами Ne^+ . Определены оптимальные условия формирования поверхностного слоя с анизотропией «легкая плоскость» и заданными значениями поверхностного закрепления спинов. Предложен подход к интерпретации физических свойств ионно-имплантированных феррит-гранатовых структур, использующий в качестве основных дефектообразующих элементов каскадные радиационно-разупорядоченные области.

Ионная имплантация (ИИ) широко используется в ЦМД-технологии для получения эпитаксиальных феррит-гранатовых структур (ЭФГС) с заданными свойствами [1]. В последнее время ионная имплантация начинает применяться в спин-волновой электронике [2-4]. С ее помощью можно изменять параметр поверхностного закрепления, что делает возможным коррекцию амплитудно-частотных характеристик устройств на магнитостатических волнах. Однако динамическая связь дефектного имплантированного слоя с основным волноведущим слоем способна привести к увеличению скорости релаксации спиновых волн и соответственно росту потерь при их распространении. Для разработки метода ионной имплантации как инструмента управления свойствами поверхности ЭФГС необходимо изучение влияния условий имплантации на закрепление поверхностных спинов и затухание спиновых волн. С этой целью в данной работе методом спин-волнового резонанса (СВР) исследовалось изменение релаксации спиновых волн и параметра закрепления спинов на поверхности в ЭФГС на основе $\text{Y}_3\text{Fe}_5\text{O}_{12}$ (ЖИГ) при имплантации ионами Ne^+ .

1. Оценка коэффициентов дефектообразования в ИИ—ЭФГС

Состояние спинов на поверхности зависит от обменных, магнитоупругих и диполь-дипольных взаимодействий. При имплантации в гранаты различных ионов из-за возникающих радиационных дефектов в ИИ-слое происходит модификация указанных взаимодействий, что и приводит к изменению закрепления спинов. Глубина залегания ИИ-слоя задается в основном энергией иона E , а его дефектность при фиксированной энергии — дозой D . Как глубина, так и дефектность ИИ-слоя зависят от массы иона, поэтому сравнивать результаты, полученные при имплантации различными ионами, затруднительно. В связи с этим в [5] при интерпретации физических свойств ИИ—ЭФГС было предложено использовать в качестве основных дефектообразующих элементов радиационно-разупорядоченные области (РРО), которые создаются высокогенергетическими ионами в результате каскада атомных столкновений. Каждая такая область из-за большого числа атомных смещений имеет аморфную кристаллическую структуру. Известно, что аморфный ЖИГ антиферромагнитен, температура его магнитного упорядочения в зависимости от метода полу-

чения изменяется в диапазоне 40—80 К. При комнатной температуре РРО должны представлять собой парамагнитные включения в ферримагнитной матрице. Концентрация РРО определяется формулой [6, 7]

$$C = 1 - e^{-\beta D}. \quad (1)$$

Коэффициент дефектообразования β , пропорциональный числу радиационных дефектов в 1 см³ на один ион, равен $\beta = N \sigma_s V_0$, где N — плотность частиц граната, σ_s — сечение рассеяния иона, V_0 — средний объем РРО. При облучении кристаллов ферритов быстрыми нейтронами β определялся методом нейтронографии [7]. В ИИ—ЭФГС параметр β может быть найден по данным конверсионной мессбауэровской спектроскопии [5]. Аморфная фаза ИИ-слоя регистрируется в γ -спектрах по появлению центрального парамагнитного дублета. Измеряя интенсивность дублета Ω от дозы, можно оценить β . На рис. 1 показаны подобные зависимости, полученные при имплантации ЭФГС Ne^+ [8] и N^+ [9]. Коэффициенты β (10^{-15} см²) равны $\beta_{\text{Ne}^+} = 2.25$, $\beta_{\text{N}^+} = 1.55$. При малых D наблюдается отклонение экспериментальных результатов от зависимости типа (1), связанное, на наш взгляд, с явлением перколяции — «протеканием» аморфного состояния по РРО.

Знание коэффициентов дефектообразования позволяет перейти к си-

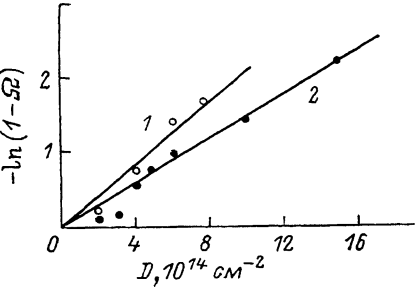


Рис. 1. Зависимости интенсивности парамагнитной фазы в γ -спектрах от дозы ЭФГС, имплантированных Ne^+ [8] (1), N^+ [9] (2). $E=80$ кэВ.

стеме отсчета, связанной не с дозой, а с концентрацией РРО, которая является обобщенной характеристикой дефектности имплантированных слоев.

2. Спин-волновой резонанс в ИИ—ЭФГС

СВР измерялся на частоте 9200 МГц. На пленках ЖИГ наблюдалось до 13 объемных спин-волновых возбуждений и одна поверхностная мода $SM1$, локализованная у подложки. После имплантации ионами Ne^+ на границе воздух—пленка возникает поверхностная мода $SM2$. Ее интенсивность составляет около 20 % от интенсивности моды $SM1$, а ширина ΔH_{SM2} в 3—5 раз больше, чем ΔH_{SM1} . При дозах D , больших $8 \cdot 10^{14}$ см⁻², мода $SM2$ исчезает.

На рис. 2 представлены концентрационные зависимости однородной $\Delta H_0(c)$ и поверхностной $\Delta H_{SM2}(c)$ мод. С ростом концентрации РРО ΔH_{SM2} растет быстрее, чем ΔH_0 . После достижения максимумов происходит уменьшение потерь обеих мод.

На рис. 3 изображены концентрационные зависимости сдвига поверхностной моды $SM2$ относительно однородной моды при двух различных энергиях ионов Ne^+ . С увеличением энергии сдвиг растет, а его концентрационная зависимость аналогична зависимости $\Delta H_{SM2}(c)$.

На рис. 4 приведены энергетические зависимости ΔH_0 , ΔH_{SM2} и рассчитанное [5] отношение глубины залегания дефектов ($\bar{X}_D + 2\Delta\bar{X}_D$) к толщине пленки d (\bar{X}_D и $\Delta\bar{X}_D$ — средние значения глубины залегания радиационных дефектов и ее дисперсии). Значение релаксационных потерь поверхностной волны слабо зависит от погружения ИИ-слоя в глубь пленки, которое происходит при увеличении энергии ионов, в то время как потери однородной моды растут, если слой погружен глубже, чем на $0.1d$.

Известно, что в ЭФГС на основе чистого ЖИГ существует небольшая одноосная анизотропия, связанная с разницей параметров подложки и пленки. Эта анизотропия невелика, и выход намагниченности из плоскости пленки составляет несколько градусов. Резонансные поля для объемных

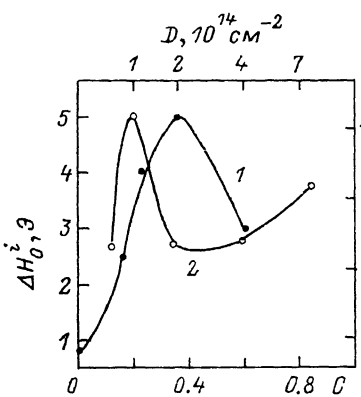


Рис. 2. Зависимости ширины линий однородной ΔH_0 (1) и поверхностной ΔH_{Sm2} (2) мод от концентрации РРО при имплантации Ne^+ (80 кэВ).

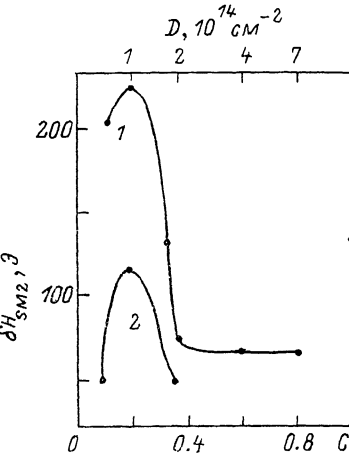


Рис. 3. Концентрационные зависимости сдвига δH_{Sm2} поверхностной моды $Sm2$ относительно однородной моды при имплантации Ne^+ (80 кэВ).

1 — 90, 2 — 50 кэВ.

спиновых волн в пленке типа (111) при перпендикулярном намагничивании даются выражением [10, 11]

$$H_{0\perp} = \frac{\omega}{\gamma} + \left(4\pi - \frac{2K_u}{M_s^2}\right) M_s + \frac{4}{3} \frac{K_1}{M_s} - Dk_z^2, \quad (2)$$

где K_u и K_1 — константы одноосной и кубической анизотропии, M_s — намагниченность, $D = 2A/M_s$ — константа обменной жесткости, $k_z =$

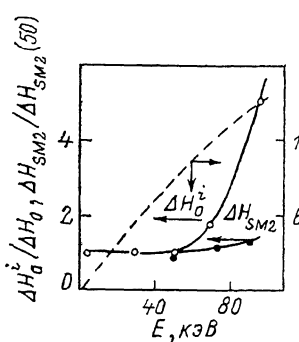


Рис. 4. Зависимости приведенных значений ширин линий однородной и поверхностной мод и средней глубины ИИ-слоя от энергии ионов Ne^+ . $D = 2 \cdot 10^{14} \text{ см}^{-2}$.

Величины нормированы на ΔH_0 (ширина линий при $D = 0$) и $\Delta H_{Sm2}(50)$ (ширина линии при $E = 50$ кэВ). d — толщина пленки.

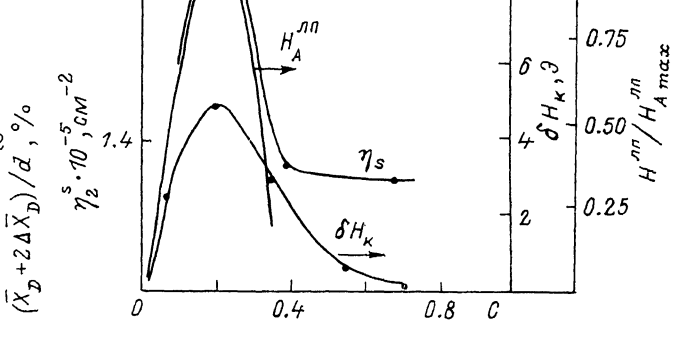


Рис. 5. Концентрационные зависимости параметра поверхностного закрепления η_2 , разности полей коллапса δH_k и расчетных значений приведенного поля анизотропии H_A^{III} .

$=n\pi/d$ — волновое число, n — число полуволн по нормали к пленке, d — толщина пленки.

В зависимости от параметров закрепления спинов на поверхностях в спектре спиновых волн могут возбуждаться четные или нечетные моды или их комбинации, а также поверхностные моды. Возможные значения k_z , определяются из обменных граничных условий, которые имеют вид

$$\left(\frac{\partial m}{\partial z} + \eta_1^s m \right)_{z=d/2} = 0, \\ \left(\frac{\partial m}{\partial z} - \eta_2^s m \right)_{z=-d/2} = 0. \quad (3)$$

Здесь m — переменная составляющая намагниченности, η_1^s и η_2^s — параметры закрепления спинов на поверхностях пленка—подложка и пленка—воздух. В случае ионно-имплантированных структур η_1^s задано, а η_2^s может изменяться в определенных пределах. Таким образом, в этих пленках можно реализовать различные граничные условия. Положение поверхностной моды относительно объемных мод зависит от параметра закрепления. Так, для случая, когда $\eta_1^s \approx -\eta_2^s$ (на поверхности пленка—подложка — анизотропия типа «легкая ось», а на поверхности пленка—воздух — «легкая плоскость»), волновое число поверхностной моды равно $ik_s = \eta_2$, а ее положение в спектре дается выражением

$$H_{SM2} = \frac{\omega}{\gamma} + \left(4\pi - \frac{2K_u}{M_s^2} \right) M_s + \frac{4}{3} \frac{K_1}{M_s} + D(\eta_2^s)^2. \quad (4)$$

Зависимость параметра закрепления спинов на имплантированной поверхности ЭФГС от концентрации РРО может быть найдена по концентрационной зависимости сдвига резонансного поля моды $SM2$ относительно резонансного поля однородной моды

$$\delta H_{SM2} = H_{SM2} - H_{0\perp} = D(\eta_2^s)^2. \quad (5)$$

На рис. 5 представлены экспериментальные зависимости η_2^s , построенные по данным рис. 3 с использованием формулы (5). Константа обменной жесткости измерялась по данным СВР на основе формулы (2), $D = 4.9 \times 10^{-9}$ Э·см². Параметр закрепления η_2^s максимален при $c=0.2$.

Физической причиной, лежащей в основе возбуждения моды $SM2$ и наблюдающейся концентрационной зависимости параметра η_2^s , является возникновение при имплантации слоя с поверхностной анизотропией типа «легкая плоскость». Это поле наводится плоскостными напряжениями величиной σ_{\parallel} , которые возникают в результате расширения решетки вдоль нормали к пленке, и может быть записано в виде

$$H_{\text{ЛП}}^a = - \frac{3\lambda_{\perp\perp}}{M_s} \sigma_{\parallel},$$

здесь $\lambda_{\perp\perp}$ — константа магнитострикции. Величина σ_{\parallel} имеет вид $\sigma_{\parallel} = K\Delta a/a$, где $K=1/3$ ($C_{11}+C_{12}$) — модуль объемного сжатия, $\Delta a/a$ — относительное изменение параметра решетки. Упругие модули $c_{ij} \times 10^{12}$ дин/см² в ЖИГ равны $c_{11}=2.69$, $c_{12}=1.08$. С увеличением концентрации РРО растет, с одной стороны, величина $\Delta a/a$ [12], а с другой — доля парамагнитной фазы (рис. 1). Рост последней сопровождается уменьшением $\lambda_{\perp\perp}$ и M_s [13]. На основе данных [13] относительно $\lambda_{\perp\perp}(D)$ и $M_s(D)$ и наци данных по $\Delta a/a$ [12] была построена концентрационная зависимость поля поверхностной анизотропии $H_{\text{ЛП}}^a$, которая коррелирует с аналогичной зависимостью параметра закрепления (рис. 5).

При большой концентрации РРО $c > 0.7$ доля парамагнитной фазы в слое с анизотропией «легкая плоскость» настолько велика, что он теряет свои магнитные свойства. При этом уменьшается $H_{\text{ЛП}}^a$, условия возбуждения моды $SM2$ не выполняются и она исчезает. При увеличении энергии падающих ионов E наблюдается рост параметра η_2^s , что может

быть связано с увеличением эффективного объема имплантированного слоя по отношению к общей толщине пленки.

Амплитуда поверхностной волны максимальна вблизи поверхности и спадает в глубь пленки по закону $A_0 \exp(-\gamma_2 z)$. Поэтому скорость релаксации поверхностной моды должна быть более чувствительна к состоянию поверхности, чем однородная мода. Действительно, ширина линии моды $SM2$, локализованной вблизи имплантированной поверхности, значительно превышает ширину линии однородной моды ΔH_0 , а также ширину линии приподложечной моды $SM1$. По этой же причине ΔH_{SM2} более резко зависит от концентрации РРО, а максимум, характерный для концентрационной зависимости $\Delta H_0(c)$, наступает при более низких концентрациях.

Уширение линий поверхностной и объемной мод связано с их участием в двухмагнитных процессах релаксации на имплантационных дефектах — радиационно-разупорядоченных кластерах. Сужение линии $SM2$, как и однородной моды, происходит в результате магнитной изоляции дефектной парамагнитной части имплантированного слоя. В связи с тем что соотношение объемов дефектного слоя и объема, занимаемого модой $SM2$, значительно выше, чем это соотношение для однородной моды, сужение моды $SM2$ происходит при более низких концентрациях РРО (рис. 2).

При увеличении энергии ионов работают два конкурирующих процесса. С одной стороны, увеличивается глубина залегания радиационных ($X_D + 2\Delta X_B$) дефектов (рис. 4; растет эффективная толщина дефектного слоя), а с другой — уменьшается концентрация РРО из-за уменьшения сечения упругого рассеяния [6]. Как видно из рис. 4, при больших энергиях на релаксацию однородной моды первый процесс оказывает более сильное влияние.

В отличие от однородной моды, ширина которой возрастает в 5 раз при погружении имплантированного слоя в глубь пленки, ширина моды $SM2$ при увеличении энергии ионов Ne^+ изменяется в максимуме $\Delta H_{SM2}(c)$ всего на 30 % (рис. 3). Это естественно, поскольку максимальная константа спада поверхностной волны составляет $2\pi/\gamma_2 = 3 \cdot 10^4$ нм, а рост ($X_D + \Delta X_B$) при увеличении энергии с 50 до 90 кэВ составляет всего 30 нм, что не может привести к существенному изменению скорости поверхности релаксации.

Тот факт, что магнитная добротность волноведущего слоя ЭФГС не ухудшается при имплантации, если толщина ИИ-слоя составляет менее 10 % от всего объема пленки, является важным и может быть использован при разработке технологии материалов для ЦМД субмикронных размеров.

Создание магнитного слоя с анизотропией типа «легкая плоскость» для подавления жестких ЦМД является основной целью ионной имплантации в ЦМД-технологии. О «качестве» этого слоя судят по разности полей коллапса δH_k нормальных ЦМД до и после имплантации [6]. На рис. 5 представлена зависимость $\delta H_k(c)$ в пленке состава $(YSmLuCa)_3(FeGe)_5O_{12}$. Видно, что δH_k максимально при такой концентрации РРО, которая создает магнитоактивный слой с наибольшей легкоплоскостной анизотропией и достаточно большой намагниченностью. Такой слой обеспечивает эффективное замыкание полей рассеяния ЦМД.

Таким образом, в настоящей работе предложен подход к интерпретации физических свойств ионно-имплантированных структур с использованием в качестве основных дефектообразующих элементов каскадных радиационно-разупорядоченных областей. Эти области являются эффективным источником двухмагнитного рассеяния как для объемных, так и для поверхностных спиновых волн. При определенных концентрациях РРО, равных 0.2 и 0.4 для поверхностной и объемной мод соответственно, происходит снижение потерь спиновых волн, связанное с магнитной изоляцией ИИ-слоя от волноведущей структуры. Динамическая связь ионно-имплантированного дефектного слоя с основным волноведущим или ЦМД-

содержащим слоем становится существенной, если его глубина составляет более $0.1d$. Наблюдается корреляция концентрационных зависимостей параметра спинового поверхностного закрепления с полем магнитной поверхностной анизотропии, наведенной упругими напряжениями. Максимальное закрепление реализуется при концентрации РРО, равной 0.2. Эта концентрация является оптимальной и при подавлении жестких ЦМД.

Список литературы

- [1] Gerard P. // Thin Solid Films. 1984. V. 114. N 1/2. P. 3—32.
- [2] Яковлев Ю. М. // Обзоры по электронной технике. Сер. 6. Материалы. 1986. № 7. С. 1—56.
- [3] Кудряшкян И. Г., Крутогин Д. Г., Ладыгин Е. А. и др. // ФТТ. 1989. Т. 59. № 3. С. 70—77.
- [4] Плященко Н. И., Талалаевский В. М. // УФЖ. 1986. Т. 35. № 11. С. 1716—1718.
- [5] Бержанский В. Н., Петров В. Е., Эдельман И. С., Васильев Г. Г. // Препринт N 606 ИФСО АН СССР. Красноярск, 1991.
- [6] Томпсон М. Дефекты и радиационные повреждения в металлах. М.: Мир, 1971.
- [7] Гопшицкий В. Н., Мень А. Н., Синицкий И. А., Чукалин Ю. Г. Структура и магнитные свойства окисных магнетиков, облученных быстрыми нейтронами. М.: Наука, 1986.
- [8] Остафийчук Б. К., Пылыпив В. М., Шевчук П. И. и др. // Металлофизика. 1987. Т. 11. № 4. С. 75—78.
- [9] Башкиров Ш. Ш., Ивойлов Н. Г., Романов Е. С. // ФТТ. 1985. Т. 25. № 9. С. 2853—2856.
- [10] Гуревич А. Г. Магнитный резонанс в ферритах и антиферромагнетиках. М.: Наука, 1973.
- [11] Саланский Н. М., Ерухимов М. Ш. Физические свойства и применение магнитных пленок. Новосибирск: Наука, 1975.
- [12] Бержанский В. Н., Петров В. Е., Коробий Ю. Н. // Письма в ЖТФ. 1990. Т. 16. № 21.
- [13] Takeuchi T., Ohta N., Sugita Y. // IEEE Trans. Mag. 1984. V. MAG-20. N 5. P. 1108—1110.

Симферопольский государственный университет
им. М. В. Фрунзе

Поступило в Редакцию
11 апреля 1991 г.
В окончательной редакции
2 июля 1991 г.